

Фильтры нейтральной плотности NG

Технические характеристики

По вопросам продаж и поддержки обращайтесь:

Алматы (727)345-47-04
Ангарск (3955)60-70-56
Архангельск (8182)63-90-72
Астрахань (8512)99-46-04
Барнаул (3852)73-04-60
Белгород (4722)40-23-64
Благовещенск (4162)22-76-07
Брянск (4832)59-03-52
Владивосток (423)249-28-31
Владикавказ (8672)28-90-48
Владимир (4922)49-43-18
Волгоград (844)278-03-48
Вологда (8172)26-41-59
Воронеж (473)204-51-73
Екатеринбург (343)384-55-89

Иваново (4932)77-34-06
Ижевск (3412)26-03-58
Иркутск (395)279-98-46
Казань (843)206-01-48
Калининград (4012)72-03-81
Калуга (4842)92-23-67
Кемерово (3842)65-04-62
Киров (8332)68-02-04
Коломна (4966)23-41-49
Кострома (4942)77-07-48
Краснодар (861)203-40-90
Красноярск (391)204-63-61
Курск (4712)77-13-04
Курган (3522)50-90-47
Липецк (4742)52-20-81

Магнитогорск (3519)55-03-13
Москва (495)268-04-70
Мурманск (8152)59-64-93
Набережные Челны (8552)20-53-41
Нижний Новгород (831)429-08-12
Новокузнецк (3843)20-46-81
Ноябрьск (3496)41-32-12
Новосибирск (383)227-86-73
Омск (3812)21-46-40
Орел (4862)44-53-42
Оренбург (3532)37-68-04
Пенза (8412)22-31-16
Петрозаводск (8142)55-98-37
Псков (8112)59-10-37
Пермь (342)205-81-47

Ростов-на-Дону (863)308-18-15
Рязань (4912)46-61-64
Самара (846)206-03-16
Санкт-Петербург (812)309-46-40
Саратов (845)249-38-78
Севастополь (8692)22-31-93
Саранск (8342)22-96-24
Симферополь (3652)67-13-56
Смоленск (4812)29-41-54
Сочи (862)225-72-31
Ставрополь (8652)20-65-13
Сургут (3462)77-98-35
Сыктывкар (8212)25-95-17
Тамбов (4752)50-40-97
Тверь (4822)63-31-35

Тольятти (8482)63-91-07
Томск (3822)98-41-53
Тула (4872)33-79-87
Тюмень (3452)66-21-18
Ульяновск (8422)24-23-59
Улан-Удэ (3012)59-97-51
Уфа (347)229-48-12
Хабаровск (4212)92-98-04
Чебоксары (8352)28-53-07
Челябинск (351)202-03-61
Череповец (8202)49-02-64
Чита (3022)38-34-83
Якутск (4112)23-90-97
Ярославль (4852)69-52-93

Россия +7(495)268-04-70

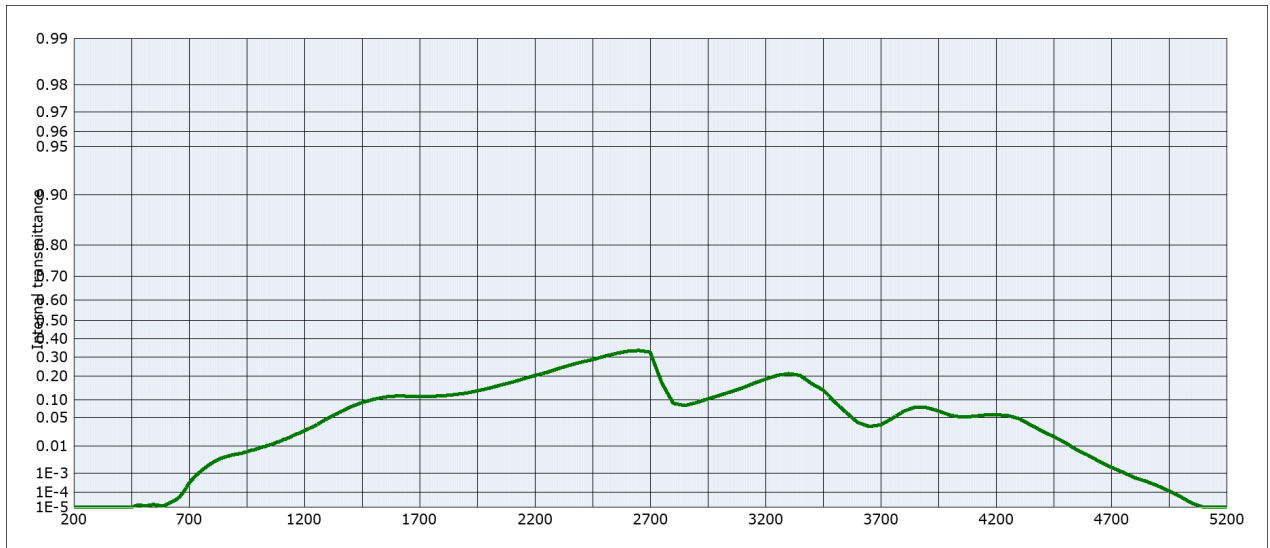
Казахстан +(727)345-47-04

Беларусь +(375)257-127-884

Узбекистан +998(71)205-18-59

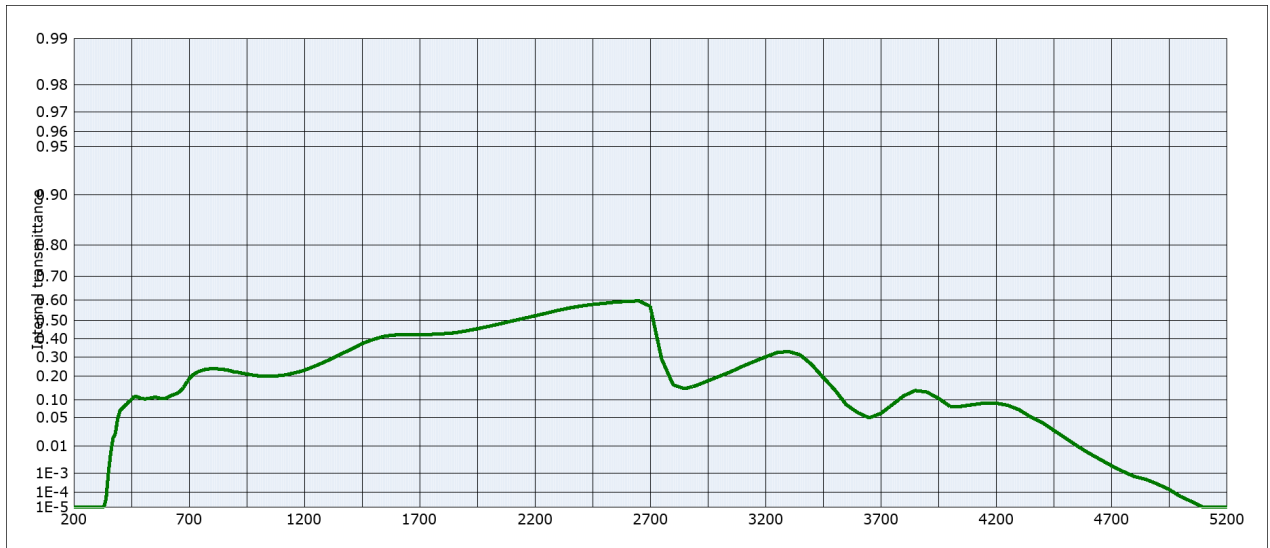
Киргизия +996(312)96-26-47

эл.почта: sqh@nt-rt.ru || сайт: <https://schott.nt-rt.ru/>



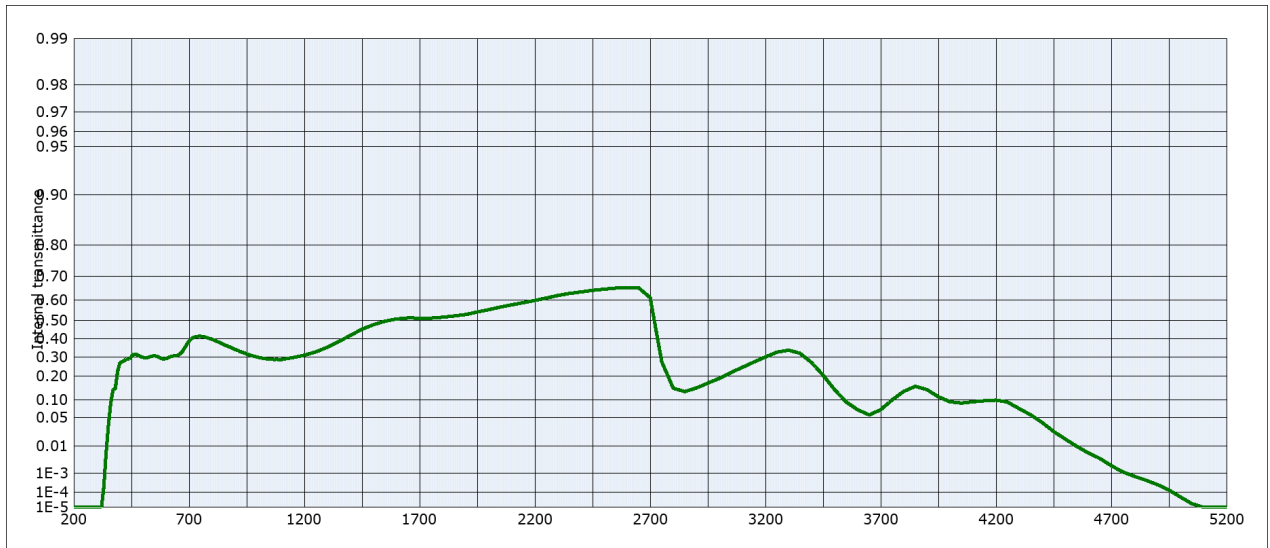
Internal transmittance τ_i at reference thickness $d = 1$ mm
The internal transmittance values, tabulated and graphically represented, are reference values only

λ [nm]	τ_i	λ [nm]	τ_i	λ [nm]	τ_i	λ [nm]	τ_i	λ [nm]	τ_i	λ [nm]	τ_i
200	$< 10^{-5}$	500	$1.3 \cdot 10^{-5}$	800	$2.7 \cdot 10^{-3}$	1100	$1.4 \cdot 10^{-2}$	2200	0.204	3700	$3.5 \cdot 10^{-2}$
210	$< 10^{-5}$	510	$1.3 \cdot 10^{-5}$	810	$3.0 \cdot 10^{-3}$	1110	$1.6 \cdot 10^{-2}$	2250	0.219	3750	$4.8 \cdot 10^{-2}$
220	$< 10^{-5}$	520	$1.4 \cdot 10^{-5}$	820	$3.4 \cdot 10^{-3}$	1120	$1.6 \cdot 10^{-2}$	2300	0.238	3800	$6.6 \cdot 10^{-2}$
230	$< 10^{-5}$	530	$1.5 \cdot 10^{-5}$	830	$3.7 \cdot 10^{-3}$	1130	$1.7 \cdot 10^{-2}$	2350	0.256	3850	$7.7 \cdot 10^{-2}$
240	$< 10^{-5}$	540	$1.6 \cdot 10^{-5}$	840	$4.1 \cdot 10^{-3}$	1140	$1.8 \cdot 10^{-2}$	2400	0.272	3900	$7.6 \cdot 10^{-2}$
250	$< 10^{-5}$	550	$1.6 \cdot 10^{-5}$	850	$4.3 \cdot 10^{-3}$	1150	$2.0 \cdot 10^{-2}$	2450	0.285	3950	$6.7 \cdot 10^{-2}$
260	$< 10^{-5}$	560	$1.5 \cdot 10^{-5}$	860	$4.6 \cdot 10^{-3}$	1160	$2.1 \cdot 10^{-2}$	2500	0.303	4000	$5.6 \cdot 10^{-2}$
270	$< 10^{-5}$	570	$1.3 \cdot 10^{-5}$	870	$4.8 \cdot 10^{-3}$	1170	$2.2 \cdot 10^{-2}$	2550	0.319	4050	$5.1 \cdot 10^{-2}$
280	$< 10^{-5}$	580	$1.3 \cdot 10^{-5}$	880	$5.2 \cdot 10^{-3}$	1180	$2.3 \cdot 10^{-2}$	2600	0.331	4100	$5.3 \cdot 10^{-2}$
290	$< 10^{-5}$	590	$1.3 \cdot 10^{-5}$	890	$5.2 \cdot 10^{-3}$	1190	$2.4 \cdot 10^{-2}$	2650	0.335	4150	$5.6 \cdot 10^{-2}$
300	$< 10^{-5}$	600	$1.5 \cdot 10^{-5}$	900	$5.5 \cdot 10^{-3}$	1200	$2.6 \cdot 10^{-2}$	2700	0.327	4200	$5.7 \cdot 10^{-2}$
310	$< 10^{-5}$	610	$1.8 \cdot 10^{-5}$	910	$5.7 \cdot 10^{-3}$	1250	$3.5 \cdot 10^{-2}$	2750	0.170	4250	$5.5 \cdot 10^{-2}$
320	$< 10^{-5}$	620	$2.2 \cdot 10^{-5}$	920	$5.9 \cdot 10^{-3}$	1300	$4.8 \cdot 10^{-2}$	2800	$8.9 \cdot 10^{-2}$	4300	$4.8 \cdot 10^{-2}$
330	$< 10^{-5}$	630	$2.7 \cdot 10^{-5}$	930	$6.0 \cdot 10^{-3}$	1350	$6.2 \cdot 10^{-2}$	2850	$8.2 \cdot 10^{-2}$	4350	$3.5 \cdot 10^{-2}$
340	$< 10^{-5}$	640	$3.3 \cdot 10^{-5}$	940	$6.5 \cdot 10^{-3}$	1400	$7.8 \cdot 10^{-2}$	2900	$9.2 \cdot 10^{-2}$	4400	$2.6 \cdot 10^{-2}$
350	$< 10^{-5}$	650	$4.1 \cdot 10^{-5}$	950	$6.7 \cdot 10^{-3}$	1450	$9.2 \cdot 10^{-2}$	2950	0.104	4450	$1.9 \cdot 10^{-2}$
360	$< 10^{-5}$	660	$5.6 \cdot 10^{-5}$	960	$7.1 \cdot 10^{-3}$	1500	0.103	3000	0.117	4500	$1.3 \cdot 10^{-2}$
370	$< 10^{-5}$	670	$8.3 \cdot 10^{-5}$	970	$7.6 \cdot 10^{-3}$	1550	0.111	3050	0.131	4550	$7.8 \cdot 10^{-3}$
380	$< 10^{-5}$	680	$1.3 \cdot 10^{-4}$	980	$7.6 \cdot 10^{-3}$	1600	0.115	3100	0.147	4600	$5.1 \cdot 10^{-3}$
390	$< 10^{-5}$	690	$2.1 \cdot 10^{-4}$	990	$8.2 \cdot 10^{-3}$	1650	0.114	3150	0.168	4650	$3.0 \cdot 10^{-3}$
400	$< 10^{-5}$	700	$3.2 \cdot 10^{-4}$	1000	$8.6 \cdot 10^{-3}$	1700	0.114	3200	0.186	4700	$1.8 \cdot 10^{-3}$
410	$< 10^{-5}$	710	$4.6 \cdot 10^{-4}$	1010	$9.1 \cdot 10^{-3}$	1750	0.114	3250	0.204	4750	$1.1 \cdot 10^{-3}$
420	$< 10^{-5}$	720	$6.2 \cdot 10^{-4}$	1020	$9.6 \cdot 10^{-3}$	1800	0.116	3300	0.213	4800	$6.3 \cdot 10^{-4}$
430	$< 10^{-5}$	730	$8.0 \cdot 10^{-4}$	1030	$9.8 \cdot 10^{-3}$	1850	0.120	3350	0.204	4850	$4.2 \cdot 10^{-4}$
440	$< 10^{-5}$	740	$9.9 \cdot 10^{-4}$	1040	$1.1 \cdot 10^{-2}$	1900	0.126	3400	0.166	4900	$2.5 \cdot 10^{-4}$
450	$< 10^{-5}$	750	$1.2 \cdot 10^{-3}$	1050	$1.1 \cdot 10^{-2}$	1950	0.135	3450	0.138	4950	$1.2 \cdot 10^{-4}$
460	$1.1 \cdot 10^{-5}$	760	$1.5 \cdot 10^{-3}$	1060	$1.2 \cdot 10^{-2}$	2000	0.146	3500	$9.4 \cdot 10^{-2}$	5000	$5.5 \cdot 10^{-5}$
470	$1.4 \cdot 10^{-5}$	770	$1.7 \cdot 10^{-3}$	1070	$1.2 \cdot 10^{-2}$	2050	0.159	3550	$6.2 \cdot 10^{-2}$	5050	$2.0 \cdot 10^{-5}$
480	$1.4 \cdot 10^{-5}$	780	$2.0 \cdot 10^{-3}$	1080	$1.3 \cdot 10^{-2}$	2100	0.172	3600	$4.0 \cdot 10^{-2}$	5100	$< 10^{-5}$
490	$1.4 \cdot 10^{-5}$	790	$2.4 \cdot 10^{-3}$	1090	$1.4 \cdot 10^{-2}$	2150	0.188	3650	$3.3 \cdot 10^{-2}$	5150	$< 10^{-5}$



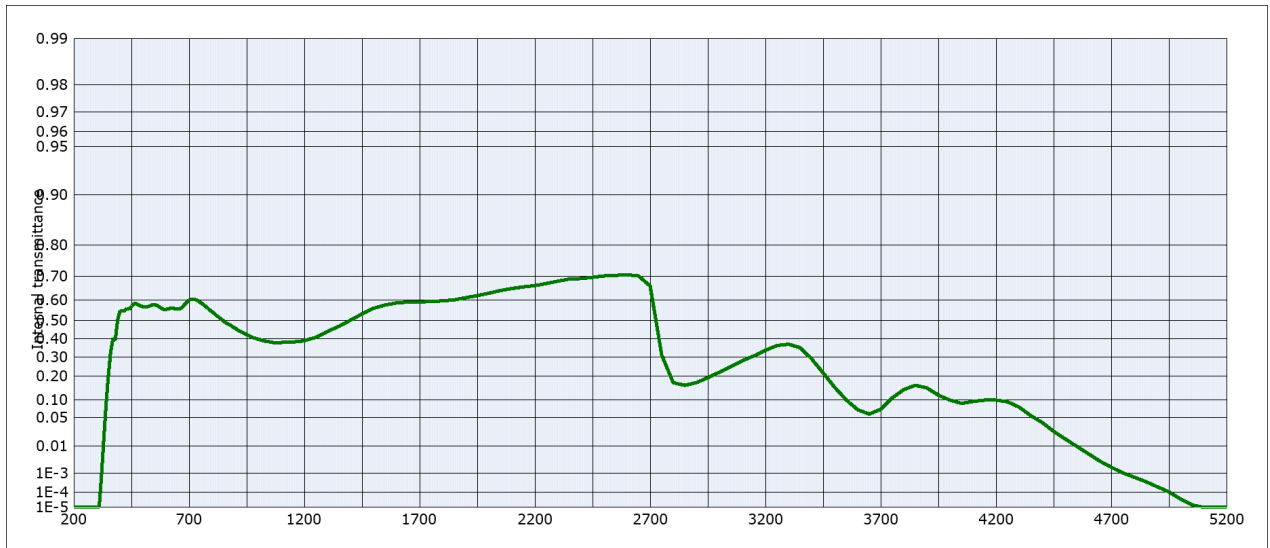
Internal transmittance τ_i at reference thickness $d = 1$ mm
The internal transmittance values, tabulated and graphically represented, are reference values only

λ [nm]	τ_i	λ [nm]	τ_i	λ [nm]	τ_i	λ [nm]	τ_i	λ [nm]	τ_i	λ [nm]	τ_i
200	$< 10^{-5}$	500	0.105	800	0.238	1100	0.203	2200	0.523	3700	$6.0 \cdot 10^{-2}$
210	$< 10^{-5}$	510	0.104	810	0.237	1110	0.205	2250	0.536	3750	$8.5 \cdot 10^{-2}$
220	$< 10^{-5}$	520	0.105	820	0.237	1120	0.208	2300	0.550	3800	0.116
230	$< 10^{-5}$	530	0.107	830	0.236	1130	0.210	2350	0.562	3850	0.136
240	$< 10^{-5}$	540	0.109	840	0.235	1140	0.212	2400	0.571	3900	0.130
250	$< 10^{-5}$	550	0.110	850	0.234	1150	0.215	2450	0.579	3950	0.107
260	$< 10^{-5}$	560	0.110	860	0.231	1160	0.218	2500	0.584	4000	$8.0 \cdot 10^{-2}$
270	$< 10^{-5}$	570	0.107	870	0.230	1170	0.220	2550	0.590	4050	$8.0 \cdot 10^{-2}$
280	$< 10^{-5}$	580	0.105	880	0.227	1180	0.223	2600	0.593	4100	$8.5 \cdot 10^{-2}$
290	$< 10^{-5}$	590	0.105	890	0.223	1190	0.226	2650	0.596	4150	$9.0 \cdot 10^{-2}$
300	$< 10^{-5}$	600	0.107	900	0.221	1200	0.230	2700	0.570	4200	$9.0 \cdot 10^{-2}$
310	$< 10^{-5}$	610	0.111	910	0.220	1250	0.253	2750	0.288	4250	$8.3 \cdot 10^{-2}$
320	$< 10^{-5}$	620	0.116	920	0.218	1300	0.280	2800	0.160	4300	$7.0 \cdot 10^{-2}$
330	$< 10^{-5}$	630	0.119	930	0.215	1350	0.311	2850	0.144	4350	$5.2 \cdot 10^{-2}$
340	$3.9 \cdot 10^{-5}$	640	0.122	940	0.213	1400	0.340	2900	0.157	4400	$4.0 \cdot 10^{-2}$
350	$1.0 \cdot 10^{-3}$	650	0.126	950	0.211	1450	0.373	2950	0.178	4450	$2.7 \cdot 10^{-2}$
360	$5.9 \cdot 10^{-3}$	660	0.132	960	0.209	1500	0.397	3000	0.200	4500	$1.7 \cdot 10^{-2}$
370	$1.7 \cdot 10^{-2}$	670	0.142	970	0.207	1550	0.415	3050	0.222	4550	$1.0 \cdot 10^{-2}$
380	$2.2 \cdot 10^{-2}$	680	0.156	980	0.205	1600	0.422	3100	0.250	4600	$6.2 \cdot 10^{-3}$
390	$4.7 \cdot 10^{-2}$	690	0.172	990	0.204	1650	0.424	3150	0.275	4650	$3.7 \cdot 10^{-3}$
400	$6.7 \cdot 10^{-2}$	700	0.187	1000	0.202	1700	0.423	3200	0.300	4700	$2.1 \cdot 10^{-3}$
410	$7.4 \cdot 10^{-2}$	710	0.200	1010	0.202	1750	0.424	3250	0.324	4750	$1.2 \cdot 10^{-3}$
420	$8.1 \cdot 10^{-2}$	720	0.209	1020	0.201	1800	0.427	3300	0.330	4800	$7.1 \cdot 10^{-4}$
430	$8.7 \cdot 10^{-2}$	730	0.217	1030	0.201	1850	0.433	3350	0.312	4850	$5.2 \cdot 10^{-4}$
440	$9.5 \cdot 10^{-2}$	740	0.223	1040	0.200	1900	0.443	3400	0.260	4900	$3.0 \cdot 10^{-4}$
450	0.102	750	0.227	1050	0.201	1950	0.455	3450	0.195	4950	$1.5 \cdot 10^{-4}$
460	0.111	760	0.231	1060	0.202	2000	0.467	3500	0.140	5000	$5.6 \cdot 10^{-5}$
470	0.113	770	0.234	1070	0.201	2050	0.481	3550	$8.5 \cdot 10^{-2}$	5050	$2.5 \cdot 10^{-5}$
480	0.110	780	0.236	1080	0.202	2100	0.496	3600	$6.2 \cdot 10^{-2}$	5100	$< 10^{-5}$
490	0.107	790	0.237	1090	0.203	2150	0.509	3650	$5.0 \cdot 10^{-2}$	5150	$< 10^{-5}$



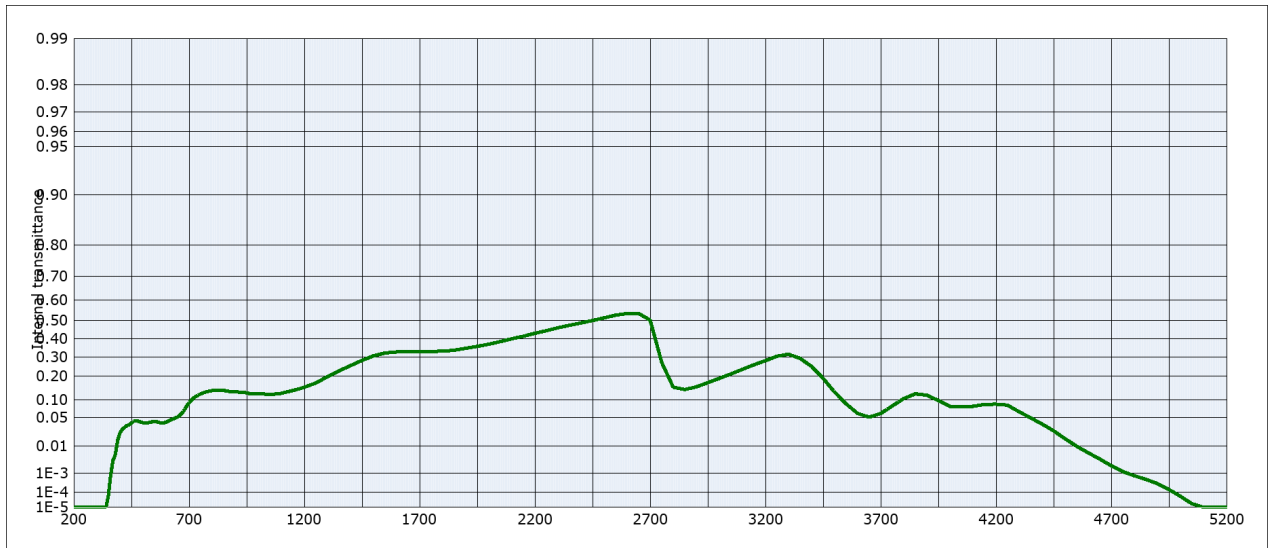
Internal transmittance τ_i at reference thickness $d = 1$ mm
The internal transmittance values, tabulated and graphically represented, are reference values only

λ [nm]	τ_i	λ [nm]	τ_i	λ [nm]	τ_i	λ [nm]	τ_i	λ [nm]	τ_i	λ [nm]	τ_i
200	$< 10^{-5}$	500	0.298	800	0.397	1100	0.286	2200	0.597	3700	$7.0 \cdot 10^{-2}$
210	$< 10^{-5}$	510	0.296	810	0.392	1110	0.288	2250	0.608	3750	0.101
220	$< 10^{-5}$	520	0.297	820	0.386	1120	0.290	2300	0.620	3800	0.133
230	$< 10^{-5}$	530	0.301	830	0.381	1130	0.292	2350	0.629	3850	0.154
240	$< 10^{-5}$	540	0.305	840	0.375	1140	0.295	2400	0.636	3900	0.140
250	$< 10^{-5}$	550	0.306	850	0.368	1150	0.297	2450	0.642	3950	0.112
260	$< 10^{-5}$	560	0.304	860	0.363	1160	0.299	2500	0.647	4000	$9.4 \cdot 10^{-2}$
270	$< 10^{-5}$	570	0.298	870	0.358	1170	0.302	2550	0.652	4050	$9.0 \cdot 10^{-2}$
280	$< 10^{-5}$	580	0.292	880	0.353	1180	0.304	2600	0.654	4100	$9.4 \cdot 10^{-2}$
290	$< 10^{-5}$	590	0.289	890	0.347	1190	0.307	2650	0.653	4150	$9.8 \cdot 10^{-2}$
300	$< 10^{-5}$	600	0.291	900	0.341	1200	0.310	2700	0.610	4200	0.100
310	$< 10^{-5}$	610	0.297	910	0.337	1250	0.328	2750	0.275	4250	$9.3 \cdot 10^{-2}$
320	$< 10^{-5}$	620	0.302	920	0.330	1300	0.353	2800	0.146	4300	$7.3 \cdot 10^{-2}$
330	$2.0 \cdot 10^{-4}$	630	0.305	930	0.325	1350	0.386	2850	0.132	4350	$5.7 \cdot 10^{-2}$
340	$6.0 \cdot 10^{-3}$	640	0.307	940	0.322	1400	0.419	2900	0.147	4400	$4.0 \cdot 10^{-2}$
350	$3.4 \cdot 10^{-2}$	650	0.309	950	0.316	1450	0.452	2950	0.168	4450	$2.5 \cdot 10^{-2}$
360	$8.9 \cdot 10^{-2}$	660	0.316	960	0.312	1500	0.476	3000	0.190	4500	$1.6 \cdot 10^{-2}$
370	0.139	670	0.328	970	0.308	1550	0.495	3050	0.218	4550	$1.0 \cdot 10^{-2}$
380	0.144	680	0.348	980	0.304	1600	0.507	3100	0.245	4600	$6.2 \cdot 10^{-3}$
390	0.225	690	0.369	990	0.301	1650	0.512	3150	0.273	4650	$4.0 \cdot 10^{-3}$
400	0.269	700	0.387	1000	0.298	1700	0.511	3200	0.300	4700	$2.1 \cdot 10^{-3}$
410	0.275	710	0.400	1010	0.296	1750	0.511	3250	0.326	4750	$1.2 \cdot 10^{-3}$
420	0.281	720	0.408	1020	0.293	1800	0.515	3300	0.337	4800	$7.3 \cdot 10^{-4}$
430	0.291	730	0.412	1030	0.291	1850	0.522	3350	0.320	4850	$4.7 \cdot 10^{-4}$
440	0.289	740	0.413	1040	0.289	1900	0.529	3400	0.270	4900	$2.8 \cdot 10^{-4}$
450	0.302	750	0.414	1050	0.288	1950	0.542	3450	0.205	4950	$1.4 \cdot 10^{-4}$
460	0.316	760	0.412	1060	0.288	2000	0.553	3500	0.140	5000	$5.2 \cdot 10^{-5}$
470	0.315	770	0.409	1070	0.286	2050	0.566	3550	$9.4 \cdot 10^{-2}$	5050	$1.8 \cdot 10^{-5}$
480	0.309	780	0.405	1080	0.287	2100	0.577	3600	$7.0 \cdot 10^{-2}$	5100	$< 10^{-5}$
490	0.302	790	0.401	1090	0.286	2150	0.587	3650	$5.6 \cdot 10^{-2}$	5150	$< 10^{-5}$



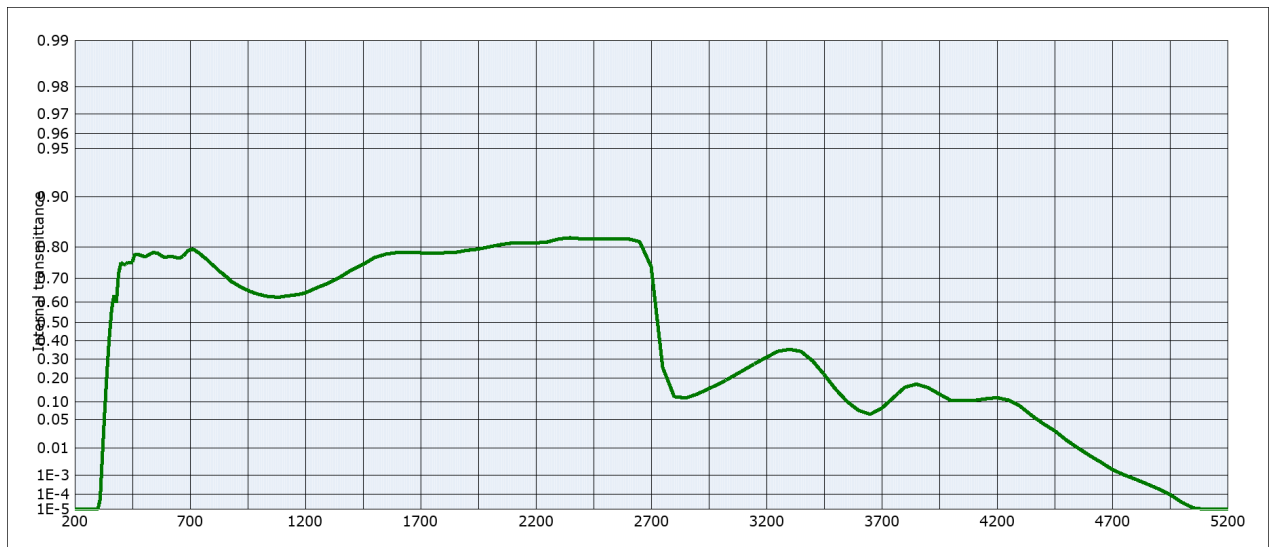
Internal transmittance τ_i at reference thickness $d = 1$ mm
The internal transmittance values, tabulated and graphically represented, are reference values only

λ [nm]	τ_i	λ [nm]	τ_i	λ [nm]	τ_i	λ [nm]	τ_i	λ [nm]	τ_i	λ [nm]	τ_i
200	$< 10^{-5}$	500	0.568	800	0.542	1100	0.379	2200	0.662	3700	$7.1 \cdot 10^{-2}$
210	$< 10^{-5}$	510	0.567	810	0.534	1110	0.381	2250	0.671	3750	0.108
220	$< 10^{-5}$	520	0.568	820	0.523	1120	0.381	2300	0.680	3800	0.140
230	$< 10^{-5}$	530	0.572	830	0.514	1130	0.382	2350	0.688	3850	0.158
240	$< 10^{-5}$	540	0.576	840	0.505	1140	0.382	2400	0.690	3900	0.147
250	$< 10^{-5}$	550	0.577	850	0.495	1150	0.383	2450	0.695	3950	0.118
260	$< 10^{-5}$	560	0.575	860	0.486	1160	0.383	2500	0.700	4000	0.100
270	$< 10^{-5}$	570	0.568	870	0.480	1170	0.384	2550	0.702	4050	$8.9 \cdot 10^{-2}$
280	$< 10^{-5}$	580	0.561	880	0.473	1180	0.386	2600	0.704	4100	$9.5 \cdot 10^{-2}$
290	$< 10^{-5}$	590	0.555	890	0.464	1190	0.388	2650	0.700	4150	0.100
300	$< 10^{-5}$	600	0.555	900	0.458	1200	0.390	2700	0.660	4200	0.100
310	$< 10^{-5}$	610	0.558	910	0.449	1250	0.408	2750	0.311	4250	$9.4 \cdot 10^{-2}$
320	$7.4 \cdot 10^{-4}$	620	0.560	920	0.442	1300	0.440	2800	0.170	4300	$7.8 \cdot 10^{-2}$
330	$1.6 \cdot 10^{-2}$	630	0.560	930	0.436	1350	0.468	2850	0.158	4350	$5.5 \cdot 10^{-2}$
340	$8.6 \cdot 10^{-2}$	640	0.558	940	0.429	1400	0.500	2900	0.170	4400	$4.0 \cdot 10^{-2}$
350	0.205	650	0.556	950	0.422	1450	0.532	2950	0.194	4450	$2.5 \cdot 10^{-2}$
360	0.328	660	0.558	960	0.417	1500	0.560	3000	0.220	4500	$1.6 \cdot 10^{-2}$
370	0.401	670	0.564	970	0.410	1550	0.576	3050	0.249	4550	$1.0 \cdot 10^{-2}$
380	0.393	680	0.577	980	0.405	1600	0.586	3100	0.280	4600	$5.8 \cdot 10^{-3}$
390	0.500	690	0.589	990	0.402	1650	0.590	3150	0.306	4650	$3.2 \cdot 10^{-3}$
400	0.546	700	0.599	1000	0.397	1700	0.590	3200	0.336	4700	$1.8 \cdot 10^{-3}$
410	0.546	710	0.604	1010	0.394	1750	0.593	3250	0.363	4750	$1.0 \cdot 10^{-3}$
420	0.549	720	0.604	1020	0.390	1800	0.595	3300	0.370	4800	$6.6 \cdot 10^{-4}$
430	0.559	730	0.600	1030	0.387	1850	0.600	3350	0.351	4850	$4.0 \cdot 10^{-4}$
440	0.556	740	0.595	1040	0.385	1900	0.610	3400	0.290	4900	$2.1 \cdot 10^{-4}$
450	0.569	750	0.587	1050	0.383	1950	0.619	3450	0.217	4950	$1.1 \cdot 10^{-4}$
460	0.583	760	0.580	1060	0.380	2000	0.630	3500	0.150	5000	$3.9 \cdot 10^{-5}$
470	0.583	770	0.571	1070	0.379	2050	0.641	3550	0.101	5050	$1.5 \cdot 10^{-5}$
480	0.577	780	0.561	1080	0.377	2100	0.650	3600	$7.0 \cdot 10^{-2}$	5100	$< 10^{-5}$
490	0.571	790	0.551	1090	0.376	2150	0.657	3650	$5.9 \cdot 10^{-2}$	5150	$< 10^{-5}$



Internal transmittance τ_i at reference thickness $d = 1$ mm
The internal transmittance values, tabulated and graphically represented, are reference values only

λ [nm]	τ_i	λ [nm]	τ_i	λ [nm]	τ_i	λ [nm]	τ_i	λ [nm]	τ_i	λ [nm]	τ_i
200	$< 10^{-5}$	500	$4.0 \cdot 10^{-2}$	800	0.136	1100	0.125	2200	0.430	3700	$6.0 \cdot 10^{-2}$
210	$< 10^{-5}$	510	$3.9 \cdot 10^{-2}$	810	0.137	1110	0.127	2250	0.444	3750	$8.1 \cdot 10^{-2}$
220	$< 10^{-5}$	520	$3.9 \cdot 10^{-2}$	820	0.138	1120	0.130	2300	0.460	3800	0.106
230	$< 10^{-5}$	530	$4.0 \cdot 10^{-2}$	830	0.138	1130	0.132	2350	0.473	3850	0.123
240	$< 10^{-5}$	540	$4.1 \cdot 10^{-2}$	840	0.138	1140	0.134	2400	0.486	3900	0.118
250	$< 10^{-5}$	550	$4.2 \cdot 10^{-2}$	850	0.137	1150	0.136	2450	0.498	3950	$9.9 \cdot 10^{-2}$
260	$< 10^{-5}$	560	$4.1 \cdot 10^{-2}$	860	0.135	1160	0.139	2500	0.512	4000	$8.0 \cdot 10^{-2}$
270	$< 10^{-5}$	570	$4.0 \cdot 10^{-2}$	870	0.133	1170	0.141	2550	0.526	4050	$7.8 \cdot 10^{-2}$
280	$< 10^{-5}$	580	$3.9 \cdot 10^{-2}$	880	0.133	1180	0.144	2600	0.534	4100	$8.0 \cdot 10^{-2}$
290	$< 10^{-5}$	590	$3.9 \cdot 10^{-2}$	890	0.132	1190	0.147	2650	0.535	4150	$8.6 \cdot 10^{-2}$
300	$< 10^{-5}$	600	$4.1 \cdot 10^{-2}$	900	0.132	1200	0.150	2700	0.500	4200	$8.6 \cdot 10^{-2}$
310	$< 10^{-5}$	610	$4.3 \cdot 10^{-2}$	910	0.131	1250	0.169	2750	0.271	4250	$8.4 \cdot 10^{-2}$
320	$< 10^{-5}$	620	$4.5 \cdot 10^{-2}$	920	0.129	1300	0.198	2800	0.150	4300	$6.5 \cdot 10^{-2}$
330	$< 10^{-5}$	630	$4.7 \cdot 10^{-2}$	930	0.128	1350	0.227	2850	0.140	4350	$5.0 \cdot 10^{-2}$
340	$< 10^{-5}$	640	$4.9 \cdot 10^{-2}$	940	0.128	1400	0.254	2900	0.151	4400	$3.7 \cdot 10^{-2}$
350	$6.4 \cdot 10^{-5}$	650	$5.2 \cdot 10^{-2}$	950	0.127	1450	0.281	2950	0.170	4450	$2.6 \cdot 10^{-2}$
360	$8.5 \cdot 10^{-4}$	660	$5.5 \cdot 10^{-2}$	960	0.125	1500	0.306	3000	0.190	4500	$1.6 \cdot 10^{-2}$
370	$3.4 \cdot 10^{-3}$	670	$6.2 \cdot 10^{-2}$	970	0.123	1550	0.322	3050	0.211	4550	$1.0 \cdot 10^{-2}$
380	$5.3 \cdot 10^{-3}$	680	$7.0 \cdot 10^{-2}$	980	0.123	1600	0.327	3100	0.235	4600	$6.2 \cdot 10^{-3}$
390	$1.5 \cdot 10^{-2}$	690	$8.1 \cdot 10^{-2}$	990	0.123	1650	0.329	3150	0.258	4650	$3.8 \cdot 10^{-3}$
400	$2.3 \cdot 10^{-2}$	700	$9.1 \cdot 10^{-2}$	1000	0.123	1700	0.330	3200	0.280	4700	$2.1 \cdot 10^{-3}$
410	$2.8 \cdot 10^{-2}$	710	0.100	1010	0.123	1750	0.330	3250	0.304	4750	$1.2 \cdot 10^{-3}$
420	$3.1 \cdot 10^{-2}$	720	0.107	1020	0.123	1800	0.332	3300	0.315	4800	$7.7 \cdot 10^{-4}$
430	$3.4 \cdot 10^{-2}$	730	0.113	1030	0.122	1850	0.337	3350	0.292	4850	$5.2 \cdot 10^{-4}$
440	$3.6 \cdot 10^{-2}$	740	0.119	1040	0.121	1900	0.347	3400	0.250	4900	$3.1 \cdot 10^{-4}$
450	$3.9 \cdot 10^{-2}$	750	0.123	1050	0.121	1950	0.358	3450	0.190	4950	$1.5 \cdot 10^{-4}$
460	$4.3 \cdot 10^{-2}$	760	0.127	1060	0.121	2000	0.370	3500	0.130	5000	$5.8 \cdot 10^{-5}$
470	$4.4 \cdot 10^{-2}$	770	0.130	1070	0.122	2050	0.385	3550	$8.8 \cdot 10^{-2}$	5050	$1.8 \cdot 10^{-5}$
480	$4.2 \cdot 10^{-2}$	780	0.132	1080	0.123	2100	0.400	3600	$6.0 \cdot 10^{-2}$	5100	$< 10^{-5}$
490	$4.1 \cdot 10^{-2}$	790	0.134	1090	0.124	2150	0.414	3650	$5.1 \cdot 10^{-2}$	5150	$< 10^{-5}$



Internal transmittance τ_i at reference thickness $d = 1$ mm
The internal transmittance values, tabulated and graphically represented, are reference values only

λ [nm]	τ_i	λ [nm]	τ_i	λ [nm]	τ_i	λ [nm]	τ_i	λ [nm]	τ_i	λ [nm]	τ_i
200	$< 10^{-5}$	500	0.772	800	0.744	1100	0.624	2200	0.810	3700	$8.0 \cdot 10^{-2}$
210	$< 10^{-5}$	510	0.773	810	0.738	1110	0.625	2250	0.812	3750	0.116
220	$< 10^{-5}$	520	0.777	820	0.730	1120	0.627	2300	0.820	3800	0.158
230	$< 10^{-5}$	530	0.781	830	0.722	1130	0.628	2350	0.823	3850	0.173
240	$< 10^{-5}$	540	0.784	840	0.717	1140	0.629	2400	0.820	3900	0.157
250	$< 10^{-5}$	550	0.783	850	0.709	1150	0.630	2450	0.820	3950	0.130
260	$< 10^{-5}$	560	0.782	860	0.703	1160	0.632	2500	0.820	4000	0.106
270	$< 10^{-5}$	570	0.777	870	0.694	1170	0.633	2550	0.820	4050	0.106
280	$< 10^{-5}$	580	0.773	880	0.685	1180	0.635	2600	0.820	4100	0.106
290	$< 10^{-5}$	590	0.770	890	0.681	1190	0.637	2650	0.813	4150	0.112
300	$< 10^{-5}$	600	0.771	900	0.675	1200	0.640	2700	0.740	4200	0.116
310	$5.1 \cdot 10^{-5}$	610	0.772	910	0.670	1250	0.662	2750	0.255	4250	0.107
320	$6.6 \cdot 10^{-3}$	620	0.772	920	0.664	1300	0.680	2800	0.120	4300	$8.7 \cdot 10^{-2}$
330	$7.4 \cdot 10^{-2}$	630	0.771	930	0.660	1350	0.703	2850	0.115	4350	$6.0 \cdot 10^{-2}$
340	0.239	640	0.769	940	0.655	1400	0.729	2900	0.130	4400	$4.2 \cdot 10^{-2}$
350	0.424	650	0.768	950	0.652	1450	0.747	2950	0.153	4450	$2.9 \cdot 10^{-2}$
360	0.567	660	0.769	960	0.645	1500	0.769	3000	0.176	4500	$1.7 \cdot 10^{-2}$
370	0.629	670	0.774	970	0.643	1550	0.779	3050	0.207	4550	$1.0 \cdot 10^{-2}$
380	0.597	680	0.781	980	0.639	1600	0.784	3100	0.240	4600	$6.0 \cdot 10^{-3}$
390	0.717	690	0.789	990	0.636	1650	0.784	3150	0.275	4650	$3.5 \cdot 10^{-3}$
400	0.753	700	0.792	1000	0.633	1700	0.783	3200	0.309	4700	$1.8 \cdot 10^{-3}$
410	0.748	710	0.793	1010	0.631	1750	0.783	3250	0.342	4750	$1.1 \cdot 10^{-3}$
420	0.747	720	0.791	1020	0.628	1800	0.783	3300	0.353	4800	$6.6 \cdot 10^{-4}$
430	0.754	730	0.786	1030	0.626	1850	0.784	3350	0.341	4850	$3.8 \cdot 10^{-4}$
440	0.752	740	0.782	1040	0.624	1900	0.790	3400	0.290	4900	$2.1 \cdot 10^{-4}$
450	0.756	750	0.776	1050	0.624	1950	0.794	3450	0.219	4950	$1.0 \cdot 10^{-4}$
460	0.779	760	0.770	1060	0.623	2000	0.800	3500	0.150	5000	$3.2 \cdot 10^{-5}$
470	0.779	770	0.765	1070	0.622	2050	0.806	3550	0.102	5050	$1.3 \cdot 10^{-5}$
480	0.777	780	0.758	1080	0.621	2100	0.810	3600	$7.3 \cdot 10^{-2}$	5100	$< 10^{-5}$
490	0.775	790	0.751	1090	0.622	2150	0.810	3650	$6.3 \cdot 10^{-2}$	5150	$< 10^{-5}$

По вопросам продаж и поддержки обращайтесь:

Алматы (727)345-47-04
Ангарск (3955)60-70-56
Архангельск (8182)63-90-72
Астрахань (8512)99-46-04
Барнаул (3852)73-04-60
Белгород (4722)40-23-64
Благовещенск (4162)22-76-07
Брянск (4832)59-03-52
Владивосток (423)249-28-31
Владикавказ (8672)28-90-48
Владимир (4922)49-43-18
Волгоград (844)278-03-48
Вологда (8172)26-41-59
Воронеж (473)204-51-73
Екатеринбург (343)384-55-89

Иваново (4932)77-34-06
Ижевск (3412)26-03-58
Иркутск (395)279-98-46
Казань (843)206-01-48
Калининград (4012)72-03-81
Калуга (4842)92-23-67
Кемерово (3842)65-04-62
Киров (8332)68-02-04
Коломна (4966)23-41-49
Кострома (4942)77-07-48
Краснодар (861)203-40-90
Красноярск (391)204-63-61
Курск (4712)77-13-04
Курган (3522)50-90-47
Липецк (4742)52-20-81

Магнитогорск (3519)55-03-13
Москва (495)268-04-70
Мурманск (8152)59-64-93
Набережные Челны (8552)20-53-41
Нижний Новгород (831)429-08-12
Новокузнецк (3843)20-46-81
Ноябрьск (3496)41-32-12
Новосибирск (383)227-86-73
Омск (3812)21-46-40
Орел (4862)44-53-42
Оренбург (3532)37-68-04
Пенза (8412)22-31-16
Петрозаводск (8142)55-98-37
Псков (8112)59-10-37
Пермь (342)205-81-47

Ростов-на-Дону (863)308-18-15
Рязань (4912)46-61-64
Самара (846)206-03-16
Санкт-Петербург (812)309-46-40
Саратов (845)249-38-78
Севастополь (8692)22-31-93
Саранск (8342)22-96-24
Симферополь (3652)67-13-56
Смоленск (4812)29-41-54
Сочи (862)225-72-31
Ставрополь (8652)20-65-13
Сургут (3462)77-98-35
Сыктывкар (8212)25-95-17
Тамбов (4752)50-40-97
Тверь (4822)63-31-35

Тольятти (8482)63-91-07
Томск (3822)98-41-53
Тула (4872)33-79-87
Тюмень (3452)66-21-18
Ульяновск (8422)24-23-59
Улан-Удэ (3012)59-97-51
Уфа (347)229-48-12
Хабаровск (4212)92-98-04
Чебоксары (8352)28-53-07
Челябинск (351)202-03-61
Череповец (8202)49-02-64
Чита (3022)38-34-83
Якутск (4112)23-90-97
Ярославль (4852)69-52-93

Россия +7(495)268-04-70

Казахстан +(727)345-47-04

Беларусь +(375)257-127-884

Узбекистан +998(71)205-18-59

Киргизия +996(312)96-26-47

эл.почта: sqh@nt-rt.ru || сайт: <https://schott.nt-rt.ru/>